

Суперсверхтонкая структура спектров ЭПР ионов Ce^{3+} в двойных фторидах LiRF_4 ($R = \text{Y, Lu, Tm}$)

© Л.К. Аминов, А.А. Ершова, В.Н. Ефимов, С.Л. Кораблёва, И.Н. Куркин, Б.З. Малкин, А.А. Родионов

Казанский государственный университет,
Казань, Россия

E-mail: Igor.Kurkin@ksu.ru

(Поступила в Редакцию 24 февраля 2010 г.)

Исследованы спектры ЭПР примесных ионов Ce^{3+} в монокристаллах двойных фторидов LiYF_4 , LiLuF_4 и LiTmF_4 на частоте ~ 9.3 GHz в диапазоне температур 5–25 К. Эффективные g -факторы основного кримерсового дублета ионов церия в трех кристаллах мало отличаются друг от друга (в $\text{LiYF}_4:\text{Ce}^{3+}$ $g_{\parallel} = 2.737$, $g_{\perp} = 1.475$). При ориентации внешнего магнитного поля \mathbf{B} вдоль кристаллографической оси c ($\mathbf{B} \parallel c$) в ван-Флекковском парамагнетике LiTmF_4 наблюдается суперсверхтонкая структура (ССТС) спектра ЭПР ионов Ce^{3+} . ССТС спектров ионов Ce^{3+} в диамагнитных матрицах LiYF_4 и LiLuF_4 разрешается при $\mathbf{B} \perp c$. Обсуждаются возможные причины такого резкого различия свойств исследованных систем.

1. Введение

Взаимодействие парамагнитных ионов в кристаллах с магнитными моментами ядер лигандов (суперсверхтонкое взаимодействие — ССТВ) приводит к уширению линий ЭПР, а в ряде благоприятных ситуаций — к разрешенной суперсверхтонкой структуре (ССТС) спектров ЭПР [1]. Наблюдение этой структуры позволяет оценить параметры и установить механизмы ССТВ. Величина взаимодействия меняется в широких пределах: ~ 300 MHz (100 G при g -факторе, равном 2) для s -ионов типа Pb^{3+} в окружении ионов F^- с ядерным спином $I = 1/2$ [2] и ~ 10 MHz для редкоземельных ионов в таком же окружении [3]. Последняя величина по порядку совпадает с зеемановской энергией ядер фтора, что значительно усложняет общую картину спектров ЭПР. Для полной интерпретации ССТС спектров ЭПР ионов Yb^{3+} в CaF_2 авторам работы [3] пришлось привлечь данные двойного электронно-ядерного резонанса.

Относительно малая величина ССТВ редкоземельных ионов, по-видимому, является причиной того, что до настоящего времени существует немного примеров наблюдения ССТС спектров ЭПР этих ионов. Отметим здесь раннюю работу Бэйкера, Хейеса и О'Брайен [4], наблюдавших и интерпретировавших ССТС спектра ЭПР Ce^{3+} в CaF_2 . В [5] приводится спектр ЭПР Yb^{3+} в LiYF_4 с суперсверхтонкой структурой, сходной по числу линий с наблюдавшимся ранее спектром в $\text{CaF}_2:\text{Yb}^{3+}$ [3]. Более детально спектр $\text{LiYF}_4:\text{Yb}^{3+}$ рассмотрен в нашей работе [6] вместе со спектром ионов урана U^{3+} в матрице LiLuF_4 , что позволило сопоставить характеристики связей ионов редких земель (незаполненная электронная $4f^N$ -оболочка) и актиноидов ($5f^N$ -оболочка) с лигандами. Однако для ионов как редких земель, так и лантаноидов представление о локализованных f -электронах оказывается явно недостаточным даже для приближенного описания структуры спектров. Существенный вклад в суперсверхтонкое взаимодействие

обусловлен примесью к f -орбиталиям электронных орбиталей лигандов, однако этот вклад заметно меньше, чем в случае s - и d -парамагнитных ионов. Примесь же орбиталей ионов второй и последующих координационных сфер парамагнитного иона пренебрежимо мала, так что связь магнитного момента редкоземельных ионов с магнитными моментами ядер указанных сфер можно рассматривать как точечное диполь-дипольное взаимодействие, что подтверждается экспериментами по двойному электронно-ядерному резонансу [7].

Особая ситуация имеет место в ван-Флекковском парамагнетике $\text{LiTmF}_4:\text{U}^{3+}$ [8]. Ближайшие к иону U^{3+} ионы тулия (спин ядра тулия $I = 1/2$) находятся в четвертой координационной сфере. Тем не менее вследствие усиленного ядерного магнетизма тулия и обменного взаимодействия ионов U^{3+} и Tm^{3+} взаимодействие $5f$ -электронов с ядрами тулия доминирует над взаимодействием с ядрами фтора и приводит к своеобразной ССТС спектра ЭПР иона U^{3+} . Дальнейшие исследования спектров ЭПР ионов редких земель и актиноидов с выраженной суперсверхтонкой структурой в различных кристаллических матрицах могут дать ценные сведения о межионных взаимодействиях и электронном распределении в кристаллах, о перспективности использования материалов в технологических целях. В настоящей работе представлены результаты изучения спектров ЭПР ионов Ce^{3+} в двойных фторидах LiYF_4 , LiLuF_4 и LiTmF_4 . Во втором разделе излагается экспериментальная часть: инструментарий, описание образцов, условия проведения экспериментов и их результаты. В третьем разделе обсуждаются данные измерений и приводятся результаты моделирования ССТС.

2. Эксперимент

Спектры ЭПР ионов Ce^{3+} в монокристаллах LiYF_4 , LiLuF_4 и LiTmF_4 были исследованы на спектрометре Bruker ESP 300 на частоте $\nu \sim 9.3$ GHz (X -диапазон) в

интервале температур 5–25 К. Все образцы были выращены методом Бриджмена–Стокбаргера в атмосфере аргона. Концентрация ионов Ce^{3+} , вводимая в кристалл, была ~ 0.1 at.% для LiYF_4 и LiLuF_4 и ~ 0.5 at.% для LiTmF_4 . Во всех образцах наблюдался интенсивный спектр ЭПР несомненно от ионов Ce^{3+} , о чем свидетельствуют значения резонансного магнитного поля \mathbf{B} в ориентациях $\mathbf{B} \parallel c$ и $\mathbf{B} \perp c$ (c — оптическая ось кристалла), соответствующие g -факторам, приведенным в работе [9]. Значения g -факторов ионов Ce^{3+} мало различаются для кристаллов LiYF_4 , LuLuF_4 и LiTmF_4 и для LiYF_4 равны $g_{\parallel} = 2.737$, $g_{\perp} = 1.475$. Характерным для ионов Ce^{3+} является также отсутствие собственной сверхтонкой структуры, так как из всех редкоземельных ионов только у церия нет изотопов с отличным от нуля ядерным спином. Это обстоятельство облегчает наблюдение и изучение ССТС на ионах Ce^{3+} .

Поиск ССТС нами выполнялся прежде всего в главных ориентациях $\mathbf{B} \parallel c$ и $\mathbf{B} \perp c$, поскольку в промежуточной ориентации, когда $0 < \theta < \pi/2$ (θ — угол между магнитным полем и осью c), предполагаемая ССТС сильно усложняется из-за большого числа магнитно-неэквивалентных ядер. Отметим, что в работе [5] ССТС ионов Yb^{3+} в LiYF_4 не наблюдалась при отходе от ориентации $\mathbf{B} \parallel c$ всего на $\sim 2^\circ$. Результаты измерений следующие.

1) В монокристаллах $\text{LiYF}_4:\text{Ce}$ и $\text{LiLuF}_4:\text{Ce}$ в ориентации $\mathbf{B} \parallel c$ ССТС наблюдать не удалось (наблюдается неразрешенная линия ЭПР шириной $\Delta B_{pp} = 1.22 \text{ mT} = 46.9 \text{ MHz}$). В ориентации $\mathbf{B} \perp c$ (произвольное направление \mathbf{B} по отношению к осям a и b в плоскости ab) ССТС в этих кристаллах наблюдается. Более узкие линии ЭПР наблюдались в кристалле LiYF_4 , соответствующий спектр ЭПР приведен на рис. 1. Отметим, что регистрация ССТС сильно зависела от температуры (влияние спин-решеточной релаксации) и

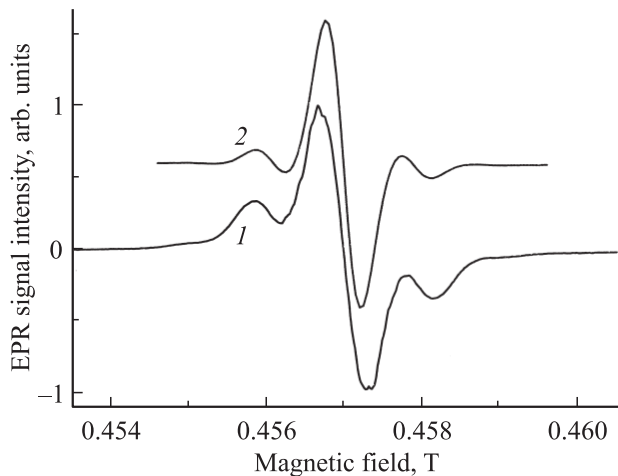


Рис. 1. Измеренный (1) и вычисленный (2) сигналы ЭПР ионов Ce^{3+} в монокристаллах LiYF_4 . $\mathbf{B} \perp c$, $T = 20 \text{ K}$, $\nu = 9.38 \text{ GHz}$.

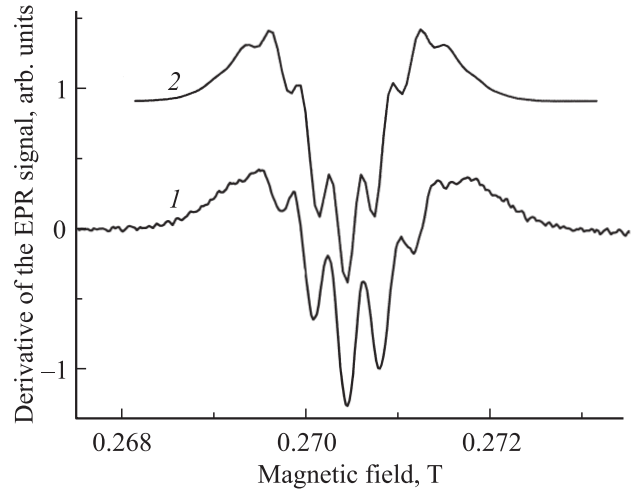


Рис. 2. Производные измеренного (1) и вычисленного (2) сигналов ЭПР ионов Ce^{3+} в LiYF_4 . Ориентация $\theta = 33.4^\circ$. $T = 14 \text{ K}$, $\nu = 9.18 \text{ GHz}$.

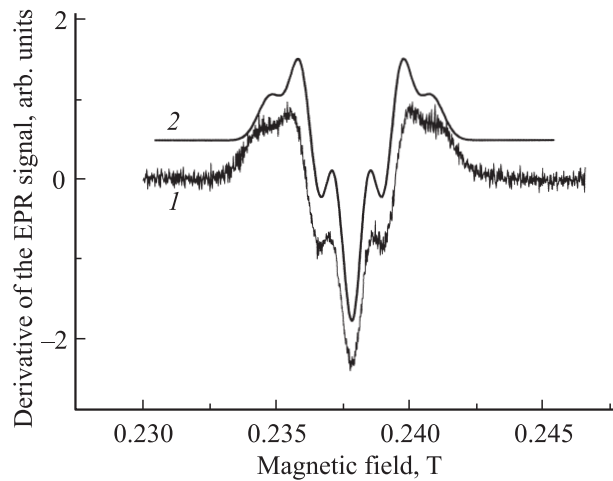


Рис. 3. Производные измеренного (1) и вычисленного (2) сигналов ЭПР ионов Ce^{3+} в LiTmF_4 . $\mathbf{B} \parallel c$, $T = 5 \text{ K}$, $\nu = 9.39 \text{ GHz}$.

лучшее отношение сигнал/шум было при $T \sim 20 \text{ K}$. ССТС состоит из пяти компонент с интервалом между компонентами $\sim 0.9 \text{ mT}$ (ширина линии отдельной компоненты ССТС $\sim 0.6 \text{ mT} = 12.4 \text{ MHz}$).

2) Нами наблюдалась ССТС в кристалле $\text{LiYF}_4:\text{Ce}$ также в промежуточной ориентации внешнего магнитного поля \mathbf{B} по отношению к оси c кристалла. Значение g -фактора ($g = 2.425$) свидетельствует о том, что для этой ориентации угол θ между \mathbf{B} и c равен 33.4° . Спектр ЭПР (вторая производная линии поглощения) для этой ориентации приведен на рис. 2. ССТС состоит из пяти компонент с интервалом между компонентами $\sim 0.36 \text{ mT}$ и шириной линии отдельной компоненты $\sim 0.29 \text{ mT}$. Несимметричность спектра, по-видимому, обусловлена наличием в кристалле двух блоков разной величины, оси c которых образуют небольшой угол

$\sim 0.2^\circ$. При отходе от угла $\theta = 33.4^\circ$ на $\pm 5^\circ$ ССТС не разрешается.

3) Исследование монокристалла $LiTmF_4:Ce^{3+}$ привело к неожиданным результатам. В отличие от кристаллов $LiYF_4$, $LiLuF_4$ в кристалле $LiTmF_4$ ССТС спектра ЭПР ионов Ce^{3+} наблюдается только при $\mathbf{V} \parallel c$ и не наблюдается при $\mathbf{V} \perp c$. Спектр ЭПР $LiTmF_4:Ce^{3+}$ в магнитном поле $\mathbf{V} \parallel c$ (вторая производная) приведен на рис. 3 (кривая 1). Число наблюдаемых компонент ССТС равно 5, форма спектра хорошо описывается (кривая 2) суперпозицией уширенных на 30% сигналов ЭПР, наблюдавшихся в параллельной ориентации в кристалле $LiYF_4:Ce^{3+}$, с соотношением интенсивностей 1:4:6:4:1 и относительным сдвигом между линиями $1.06 \text{ мТ} = 41 \text{ МГц}$. Следует отметить, что ССТС в $LiTmF_4$ наблюдается только при низких температурах ($T < 6 \text{ К}$) вследствие сильного уширения сигналов ЭПР при повышении температуры из-за очень коротких времен спин-решеточной релаксации [10].

3. Обсуждение результатов

Редкоземельные ионы в двойных фторидах $LiRF_4$ ($R = Y, Lu, Tm$) замещают ионы R^{3+} в позициях с симметрией S_4 . Окружение примесных ионов в элементарной ячейке изображено на рис. 4. Ближайшее окружение составляют две четверки ионов фтора, F1 и F2, располагающиеся в вершинах двух тетраэдров, один из которых вытянут, а второй сжат вдоль оси c кристалла. Четыре иона лития (третья координационная сфера) находятся в одной плоскости ab с примесным ионом. Четвертую координационную сферу составляют еще четыре иона Li^+ и четыре иона R^{3+} , образующие одинаковые тетраэдры. Как уже отмечалось выше, заметный вклад в ССТС спектров ЭПР вносит взаимодействие $4f$ -электронов примесного иона с ближайшими ядрами F^- и ядрами Tm^{3+} в ван-флековском парамагнетике $LiTmF_4$. Вклад ядер ионов Li^+ и Y^{3+} значительно меньше, поскольку они более удалены от примесного иона, обладают меньшим значением ядерного гиромангнитного отношения ($\gamma_I/2\pi = 16.55$ (Li), 2.09 (Y) МГц/Т) по сравнению с ядрами ионов F^- ($\gamma_I/2\pi = 40$ МГц/Т [1]) и их магнитные моменты не усилены в отличие от ядер Tm^{3+} .

Спиновый гамильтониан для парамагнитного иона, взаимодействующего с магнитными моментами ядер лигандов, записывается в виде [1,8]

$$H = \mu_B \mathbf{g} \tilde{S} \mathbf{S} + \hbar \sum_i \left(-\mathbf{B} \tilde{\gamma}_i^i \mathbf{I}^i + \sum_{p,v} T_{pv}^i I_p^i S_v \right), \quad (1)$$

где μ_B — магнетон Бора, \tilde{g} — g -тензор примесного иона, \mathbf{I}^i — спин ядра i -го лиганда, $\tilde{\gamma}_i^i$ — эффективный ядерный гиромангнитный тензор i -го лиганда, отличающийся от гиромангнитного отношения γ_i^i фактором усиления $(1 + \tilde{\alpha}^i)$, принимающим большие значения в случае ядер ван-флековских ионов (для иона Tm^{3+} $\alpha_{||} = 1.73$,

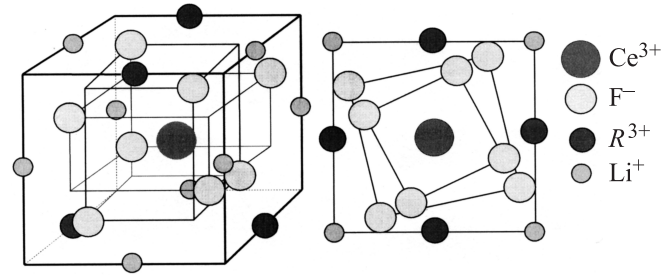


Рис. 4. Половина ячейки Бравэ кристалла $LiRF_4$ с центром на примесном ионе Ce^{3+} , замещающем позицию R^{3+} .

$\alpha_{\perp} = 66.5$ [11]). Для ядер диамагнитных ионов F^- , Li^+ , Y^{3+} тензором сдвига $\tilde{\alpha}$ можно пренебречь. В формуле (1) \tilde{T}^i — тензор ССТВ, в соответствии с определением компоненты этого тензора имеют размерность частоты. Вклад в тензор ССТВ магнитного диполь-дипольного взаимодействия парамагнитного иона с ядром равен

$$T_{pvd}^i = -\frac{\mu_B \gamma_I^i}{R_i^3} \sum_q (\delta_{qp} - 3n_q^i n_p^i) g_{qv}. \quad (2)$$

Радиус-вектор \mathbf{R}_i связывает парамагнитный ион с i -м лигандом; $\mathbf{n}^i = \mathbf{R}_i/R_i$. Для изучаемого в настоящей работе иона Ce^{3+} эффективный спин $S = 1/2$, ядро церия не обладает магнитным моментом, поэтому в (1) не входит сверхтонкое взаимодействие с собственным ядром.

Приведем параметры лигандов, используемые в дальнейших оценках,

$$F1: \quad R_1 = 0.222 \text{ nm}, \quad \theta_1 = 67.6^\circ;$$

$$F2: \quad R_2 = 0.227 \text{ nm}, \quad \theta_2 = 38.6^\circ [12, 13];$$

$$Tm: \quad \gamma_I/2\pi = -3.54 \text{ МГц/Т} [11],$$

$$R_3 = 0.370 \text{ nm}, \quad \theta_3 = 44^\circ,$$

где θ_i — угол между \mathbf{R}_i и осью c . Структурные данные приведены для регулярных позиций ионов в кристалле. Введение примеси приводит к некоторому локальному искажению структуры [14,15], но наиболее существенно то обстоятельство, что меняется кристаллическое поле на соседних с примесью ионах Tm^{3+} в $LiTmF_4$ [10,11], а это в свою очередь приводит к возрастанию компонент тензора сдвига $\tilde{\alpha}$.

Электронная зеемановская энергия намного превышает остальные члены в формуле (1). Ее диагонализация при $\mathbf{V} \parallel z$ (z вдоль c) приводит к двум уровням энергии $E(M_z = \pm 1/2) = g_{||} \mu_B B M_z$. При $\mathbf{V} \perp z$ вместо M_z будем писать M_x , $g_{||}$ заменяется на g_{\perp} . Ядерная часть гамильтониана (1) диагонализируется отдельно для каждого электронного состояния M_z , и в рамках принятого приближения не взаимодействующих лигандов эта процедура сводится к диагонализации гамильтонианов отдельных лигандов $H^i(M_z)$ и последующей

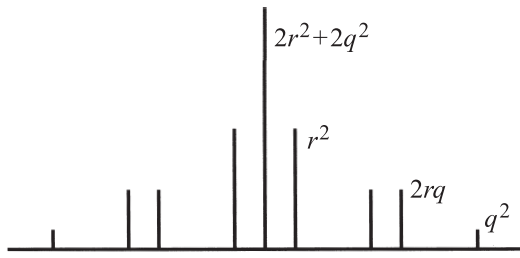


Рис. 5. Схема ССТС, возникающей при взаимодействии парамагнитного центра с ядрами двух магнитно-эквивалентных лигандов. Указаны интенсивности линий.

суперпозиции полученных спектров

$$H^i(M_z) = \hbar \mathbf{I}^i \mathbf{B}_{\text{eff}}^i(M_z),$$

$$\mathbf{B}_{\text{eff}}^i(M_z) = \left[M_z T_{xz}(1 + \alpha_{\perp}), \right. \\ \left. M_z T_{yz}(1 + \alpha_{\perp}), (M_z T_{zz} - \gamma_j^i B)(1 + \alpha_{\parallel}) \right]. \quad (3)$$

При $B \parallel x$ имеем

$$\mathbf{B}_{\text{eff}}^i(M_x) = \left[(M_x T_{xx} - \gamma_j^i B)(1 + \alpha_{\perp}), \right. \\ \left. M_x T_{yx}(1 + \alpha_{\perp}), M_x T_{zx}(1 + \alpha_{\parallel}) \right]. \quad (4)$$

Эффективное поле выражено здесь в единицах частоты. Энергии ядерных магнитных состояний равны $\varepsilon_{\pm}(M) = \pm \hbar B_{\text{eff}}(M)/2$, а линия ЭПР при учете одного лиганда (условие резонанса имеет вид $2\pi\hbar\nu = [E(M) - E(-M)]/\hbar + \varepsilon_{\pm}(M) - \varepsilon_{\pm}(-M)$) расщепляется на четыре компоненты с интенсивностями r и q

$$(M, m) \leftrightarrow (-M, m), \quad r = \frac{1}{2} A^2 [1 + \mathbf{n}_e(M) \cdot \mathbf{n}_e(-M)], \\ (M, m) \leftrightarrow (-M, -m), \quad q = \frac{1}{2} A^2 [1 - \mathbf{n}_e(M) \cdot \mathbf{n}_e(-M)], \quad (5)$$

где $A \sim \langle M | \mu_{\perp} | -M \rangle$ — матричный элемент проекции электронного магнитного момента μ_{\perp} на микроволновое поле \mathbf{B}_1 , перпендикулярное \mathbf{B} , $\mathbf{n}_e(M)$ — единичный вектор вдоль $\mathbf{B}_{\text{eff}}(M)$. Таким образом, вторые слагаемые в квадратных скобках уравнений (5) представляют собой косинус угла между эффективными полями на ядре лиганда в двух различных электронных состояниях $M = \pm 1/2$. Суперпозиция подобных спектров для нескольких магнитно-неэквивалентных лигандов приводит к сложной структуре сигнала ЭПР, которая лишь в ряде специальных условий проявляется в виде частично разрешенной суперсверхтонкой структуры, состоящей из отдельных линий.

В обсуждаемых здесь экспериментах источниками ССТС служат две четверки структурно-эквивалентных лигандов F^- , а в LiTmF_4 — еще четверка ионов Tm^{3+}

в окружении примесного иона Ce^{3+} . При ориентации внешнего магнитного поля \mathbf{B} параллельно кристаллографической оси c эти четверки лигандов в каждой из указанных трех групп также магнитно-эквивалентны. Приведем примерные значения эффективных полей \mathbf{B}_d на ядрах лигандов (см. (3), (4)) с учетом лишь дипольного сверхтонкого взаимодействия (2) (указаны компоненты, параллельная и перпендикулярная внешнему полю, в MHz)

$$\mathbf{B} \parallel c, \quad B = 0.2375 \text{ T}, \quad \mathbf{B}_d^1(M_z) = (-9.8 - 5.2M_z, 9.8M_z), \\ \mathbf{B}_d^2(M_z) = (-9.8 + 7.2M_z, 12.7M_z), \\ \mathbf{B}_d^3(M_z) = (2.4 - 0.27M_z, 17.9M_z). \quad (6)$$

Здесь верхние индексы 1–3 относятся соответственно к четверкам лигандов F1, F2 и Tm. При $\mathbf{B} \perp c$ каждая четверка распадается на две пары магнитно-эквивалентных лигандов, и дипольные поля зависят от ориентации \mathbf{B} в плоскости ab . Приводим поля для случая, когда лиганд оказывается в плоскости, содержащей внешнее поле и ось z ,

$$\mathbf{B} \perp c, \quad B = 0.457 \text{ T},$$

$$\mathbf{B}_d^1(M_x) = (-18.2 + 7.8M_x, 12.8M_x), \\ \mathbf{B}_d^2(M_x) = (-18.2 + 0.78M_x, 5.5M_x), \\ \mathbf{B}_d^3(M_x) = (108.6 - 2.9M_x, -9.3M_x). \quad (7)$$

Отметим, что хотя поперечная компонента поля \mathbf{B}_d^3 сильно зависит от ориентации внешнего поля в плоскости ab (приведено наибольшее значение), но в любом случае она много меньше продольной компоненты, обусловленной главным образом зеемановской энергией ядра иона тулия. На рис. 5 приведена в схематическом виде деталь спектра ЭПР, обусловленная парой магнитно-эквивалентных лигандов. Она состоит из пяти групп линий, интервалы между линиями одной группы равны $B(M) - B(-M)$, расстояние от центра до двух линий соседней группы составляет $B(M)$ и $B(-M)$, а до крайней линии — $B(M) + B(-M)$. Вид рисунка соответствует ситуации $r > q$, т.е. всем приведенным в уравнениях (6) и (7) эффективным полям, за исключением $\mathbf{B}_d^3(M_z)$.

В условиях, когда эффективное поле на ядре лиганда в основном обусловлено внешним полем, вклад в спектр ЭПР одинаковых лигандов (например, всех восьми ионов F^-) выглядит подобно рис. 5, даже если эти лиганды магнитно-неэквивалентны. Спектры пар (парамагнитный ион + лиганд) составлены из групп линий, отделенных друг от друга интервалами $\gamma_j B$, и наложение таких спектров приводит к результирующему спектру того же типа. Это обстоятельство качественно объясняет, почему ССТС иона Ce^{3+} в LiYF_4 и LiLuF_4 наблюдается при $\mathbf{B} \perp c$ и не была обнаружена при $\mathbf{B} \parallel c$. Резонансное магнитное поле на частоте 9.4 GHz в первом случае равно 0.457 T, и хорошо выполняется условие $\gamma_j B > |T_{pv}|$. При $\mathbf{B} \parallel c$ резонансное поле равно 0.237 T,

и в этом случае $\gamma_1 B \sim |T_{pv}|$ даже при учете только диполь-дипольного взаимодействия. Интервалы между линиями внутри указанных выше групп становятся сопоставимыми с интервалами $\gamma_1 B$ между группами, и при наложении спектров пар регулярность в расположении отдельных компонент теряется. Ситуация для Ce^{3+} в этом отношении противоположна той, что имела место для систем $LiLuF_4:U^{3+}$ и $LiYF_4:Yb^{3+}$ [6], в которых вследствие соотношения $g_{\parallel} < g_{\perp}$ резонансное поле в ориентации $\mathbf{B} \parallel c$ было примерно в 2–3 раза больше, чем при $\mathbf{B} \perp c$, и ССТС наблюдалась именно при $\mathbf{B} \parallel c$.

Вычисленная форма сигналов ЭПР ионов Ce^{3+} в $LiYF_4$ и $LiLuF_4$ при различных ориентациях магнитного поля \mathbf{B} с учетом магнитного дипольного взаимодействия $4f$ -электрона с ядрами ионов фтора лишь качественно согласуется с результатами измерений. Для согласования вычисленных и измеренных спектров требуется компоненты тензора ССТВ \tilde{T}^i для ядер F1 увеличить в 1.6 раза и уменьшить их на 15% для ядер F2. Диполь-дипольное взаимодействие уменьшается вследствие смещений ионов фтора от примесного иона Ce^{3+} , ионный радиус которого существенно больше ионных радиусов ионов Y^{3+} и Lu^{3+} . Дополнительные вклады в ССТВ, обусловленные переносом электронной плотности с иона Ce^{3+} на лиганды [16,17], были вычислены согласно работе [17]. В расчете волновых функций основного дублета ионов Ce^{3+} в кристалле $LiYF_4$ были использованы параметры кристаллического поля, приведенные в работе [18]. Величины коэффициентов пропорциональности между постоянными ковалентных связей и интегралами перекрытия $k_{2s} = 0.55$ (F1), 0.32 (F2); $k_{2p} = 1.45$ (F1), 0.63 (F2) были получены из сравнения результатов расчетов с измеренными спектрами. Результаты вычислений ССТС представлены на рис. 1 и 2 (кривые 2). Отметим, что вычисленная в рамках использованной модели форма сигнала ЭПР в поле $\mathbf{B} \parallel c$, как и измеренный спектр, соответствует лишь одной широкой линии с неразрешенной ССТС.

Существенное изменение ССТС в ван-флековском парамагнетике $LiTmF_4$, очевидно, связано с влиянием на спектр ЭПР иона Ce^{3+} „усиленных“ ядерных моментов ионов Tm^{3+} . „Усиленная“ ССТС наблюдалась, как уже отмечалось выше, в системе $LiTmF_4:U^{3+}$ [8], и для ее описания пришлось предположить, что ионы U^{3+} и Tm^{3+} связаны обменным взаимодействием, приводящим в свою очередь к дополнительной суперсверхтонкому взаимодействию иона U^{3+} с ядром иона Tm^{3+} . Мы выполнили расчеты спектра ЭПР системы, состоящей из пары ионов Ce^{3+} и Tm^{3+} , используя численную диагонализацию матрицы (с размерностью 52×52) оператора Гамильтона, определенного в пространстве двух состояний основного дублета иона Ce^{3+} , тринадцати электронных состояний основного мультиплета 3H_6 и двух состояний ядра иона Tm^{3+} . Оператор Гамильтона включает энергию иона Tm^{3+} в кристаллическом поле, магнитное сверхтонкое взаимодействие электронной оболочки тулия со своим ядром, взаимодействие

электронов, локализованных на ионах Ce^{3+} и Tm^{3+} , и ядра тулия с внешним магнитным полем и взаимодействия электронных и ядерных магнитных дипольных моментов. Используя параметры кристаллического поля для иона Tm^{3+} в регулярной решетке [19], мы получили интервал ССТС 0.45 мТ (примерно в 2 раза меньше измеренного). Однако при учете изменения кристаллического поля вследствие деформации решетки примесным ионом Ce^{3+} [10], используя параметры низкосимметричной компоненты кристаллического поля, приведенные в работе [15] для ионов Tm^{3+} , ближайших к примесному иону Nd^{3+} , мы получили интервал ССТС 0.95 мТ, очень хорошо согласующийся с измеренным. Вклад ядер четырех ионов Tm^{3+} в ССТС спектра ЭПР схематически представляется в виде пяти эквидистантных линий (см. [8]). Свертка этого спектра с широкой линией с неразрешенной ССТС за счет лигандов F1 и F2, наблюдаемой в $LiYF_4:Ce^{3+}$ и $LiLuF_4:Ce^{3+}$ при $\mathbf{B} \parallel c$, соответствует экспериментальному спектру в $LiTmF_4:Ce^{3+}$ (рис. 3).

При $\mathbf{B} \perp c$, как следует из (7), весьма велика зеемановская энергия ядер Tm, соответственно $r \gg q$, и вклад ядер тулия сводится к сравнительно близко расположенным линиям с интервалами около 3.1 МГц (подобным средней группе на рис. 5), меньшими ширины линий. Наложение такой схемы на наблюдаемый спектр ЭПР в $LiY(Lu)F_4:Ce^{3+}$ при $\mathbf{B} \perp c$ приводит к расплыванию и исчезновению разрешенной ССТС этого спектра. Таким образом, различие спектров ЭПР примесных ионов Ce^{3+} в $LiYF_4$, $LiLuF_4$ и $LiTmF_4$ вполне удовлетворительно объясняется усиленным ван-флековским парамагнетизмом ионов Tm^{3+} .

В качестве общего итога проведенного исследования отметим, что основные черты наблюдавшихся спектров ЭПР иона Ce^{3+} в двойных фторидах $LiRF_4$ объясняются в рамках существующих теоретических представлений. Некоторые детали, такие как асимметрия спектра (рис. 2), требуют дальнейшего исследования.

Список литературы

- [1] А. Абрагам, Б. Блини. Электронный парамагнитный резонанс переходных ионов. Мир, М. (1972). Т. 1.
- [2] L.K. Aminov, D.G. Zverev, G.V. Mamin, S.I. Nikitin, N.I. Silkin, R.V. Yusupov, A.A. Shakhov. Appl. Magn. Res. **30**, 175 (2006).
- [3] U. Ranon, J.S. Hyde. Phys. Rev. **141**, 259 (1966).
- [4] J.M. Baker, W. Hayes, M.C.M. O'Brien. Proc. Roy. Soc. (London) A **254**, 273 (1960).
- [5] J.P. Sattler, J. Nemanich. Phys. Rev. B **4**, 1 (1971).
- [6] L.K. Aminov, A.A. Ershova, D.G. Zverev, S.L. Korableva, I.N. Kurkin, B.Z. Malkin. Appl. Magn. Res. **33**, 351 (2008).
- [7] R.G. Bessent, W. Hayes. Proc. Roy. Soc. (London) A **285**, 430 (1965).
- [8] L.K. Aminov, A.A. Ershova, S.L. Korableva, I.N. Kurkin, A.A. Rodionov, B.Z. Malkin. Письма в ЖЭТФ **87**, 362 (2008).

- [9] Л.К. Аминов, И.Н. Куркин, И.Х. Салихов, С.И. Сахаева. ФТТ **32**, 2705 (1990).
- [10] L.K. Aminov, A.V. Vinokurov, I.N. Kurkin, Yu.Yu. Kostetskii, S.L. Korableva, I.Kh. Salikhov, S.I. Sakhaeva, M.A. Teplov. Phys. Status Solidi B **152**, 191 (1989).
- [11] L.K. Aminov, B.Z. Malkin, M.A. Teplov. In: Handbook on the physics and chemistry of rare earths. V. 22 / Eds K.A. Gschneidner, jr., L. Eyring. Elsevier Science (1996). P. 295.
- [12] E. Garcia, R.P. Ryan. Acta Cryst. C **49**, 2053 (1993).
- [13] A. Bensalah, Y. Guyot, A. Brenier, H. Sato, T. Fukuda, G. Boulon. J. Alloys Comp. **380**, 15 (2004).
- [14] M. Stephan, M. Zachau, M. Groting, O. Karplak, V. Eyert, K.C. Mishra, P.C. Schmidt. J. Lumin. **114**, 255 (2005).
- [15] Л.К. Аминов, Б.З. Малкин, М.А. Корейба, С.И. Сахаева, В.Р. Пекуровский. Опт. и спектр. **68**, 835 (1990).
- [16] B.R. McGarvey. J. Chem. Phys. **65**, 955 (1976).
- [17] R.M. Macfarlane, R.S. Meltzer, B.Z. Malkin. Phys. Rev. B **58**, 5692 (1998).
- [18] B.Z. Malkin, O.V. Solovyev, A.Yu. Malishev, S.K. Saikin. J. Lumin. **125**, 175 (2007).
- [19] R.Yu. Abdulsabirov, A.A. Kazantsev, S.L. Korableva, B.Z. Malkin, S.I. Nikitin, A.L. Stolov. J. Lumin. **117**, 225 (2006).